

FIG. 1

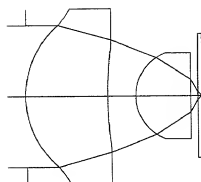


FIG. 2

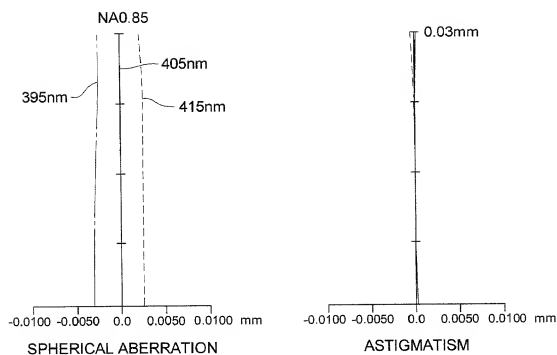


FIG. 3

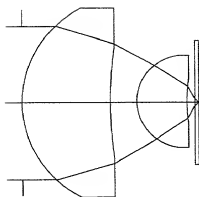


FIG. 4

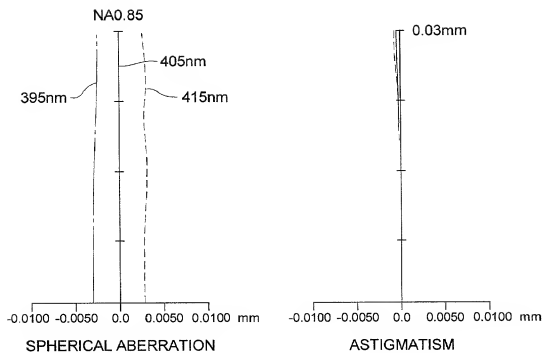


FIG. 5

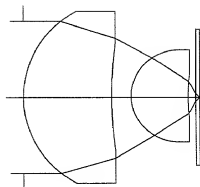


FIG. 6

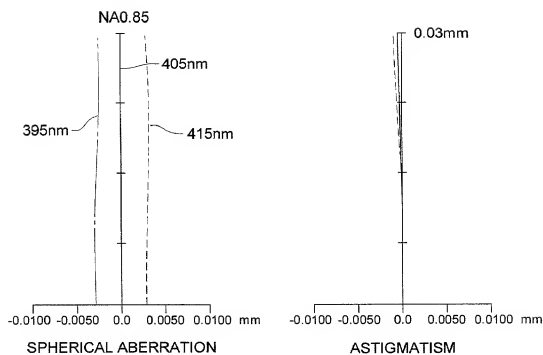


FIG. 7

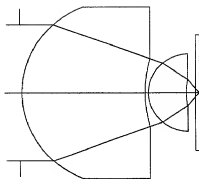


FIG. 8

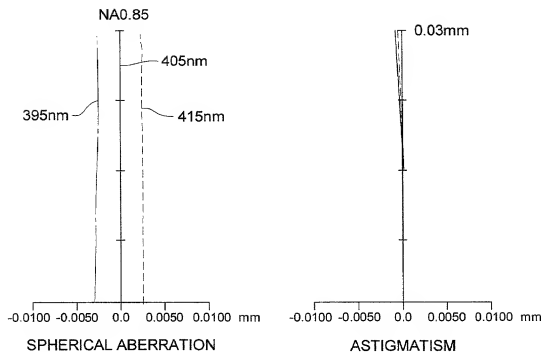


FIG. 9

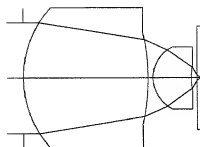


FIG. 10

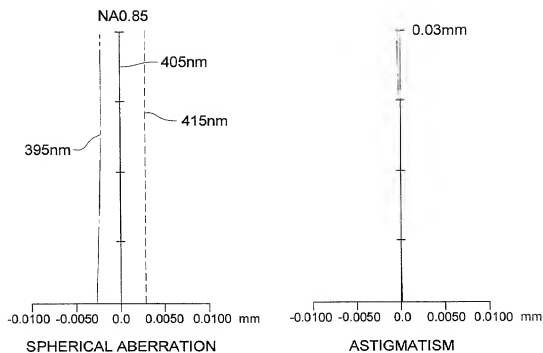


FIG. 11

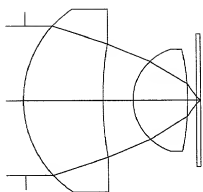


FIG. 12

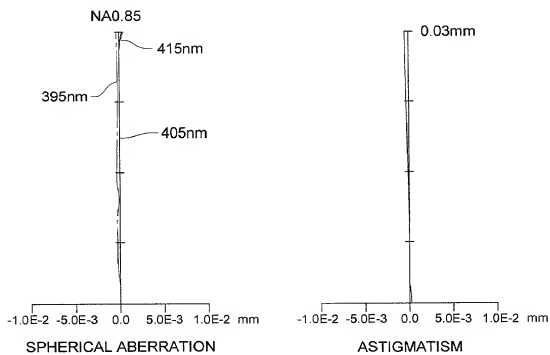


FIG. 13

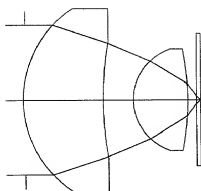


FIG. 14

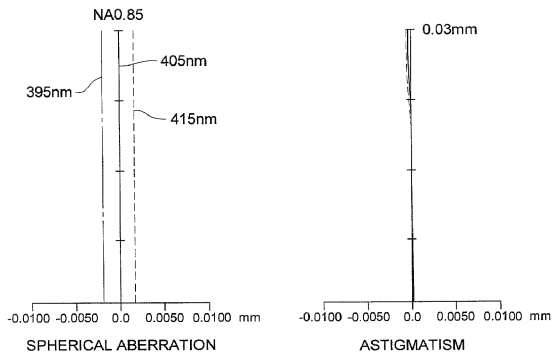


FIG. 15

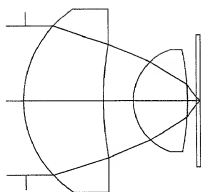


FIG. 16

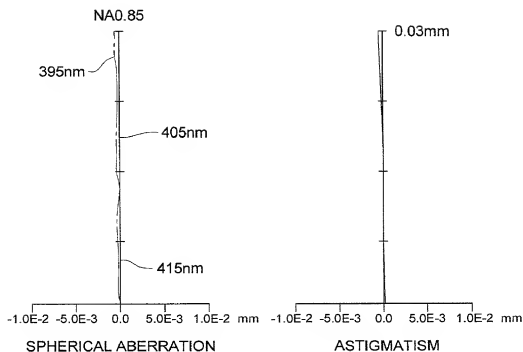


FIG. 17

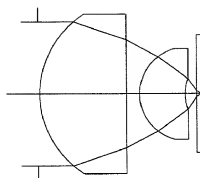


FIG. 18

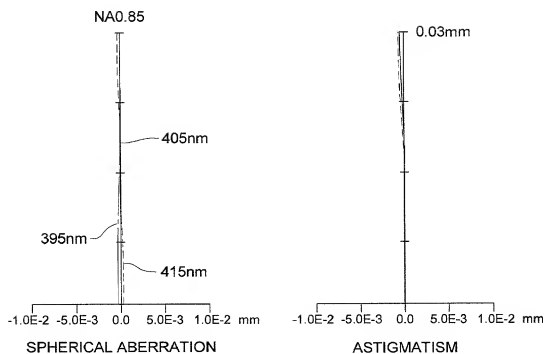


FIG. 19

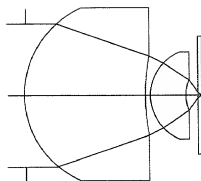


FIG. 20

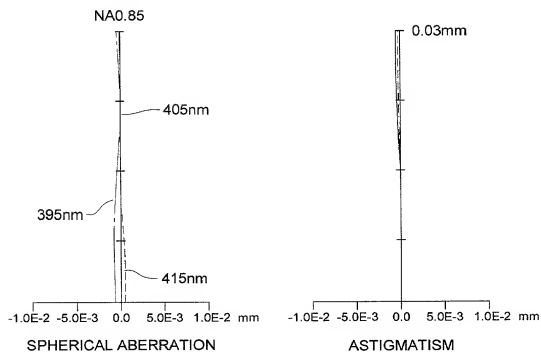


FIG. 21

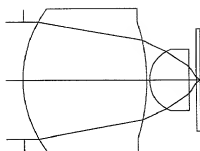


FIG. 22

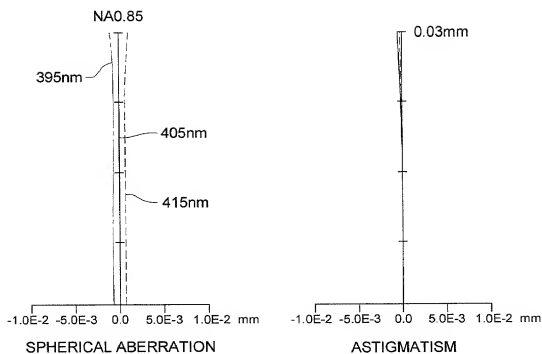


FIG. 23

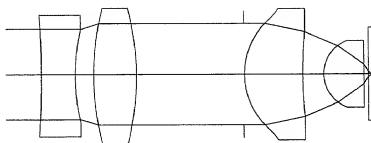


FIG. 24

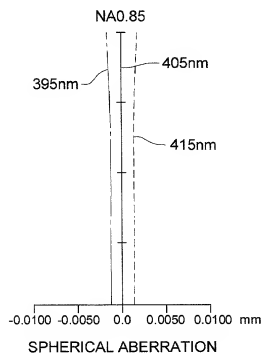


FIG. 25

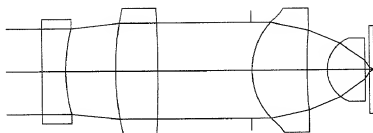
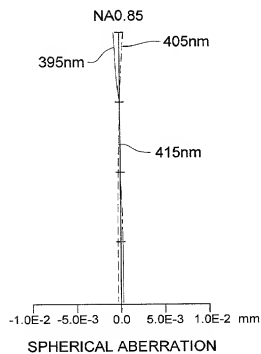


FIG. 26



09976077.101501
 TOSTOT-22092660

FIG. 27

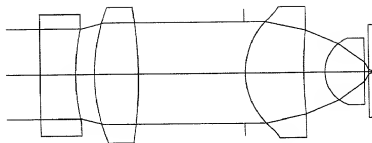


FIG. 28

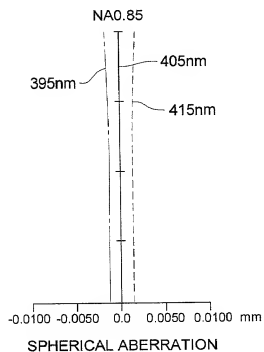


FIG. 29

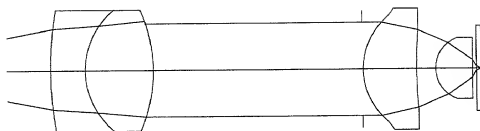


FIG. 30

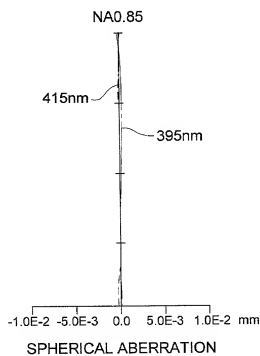


FIG. 31

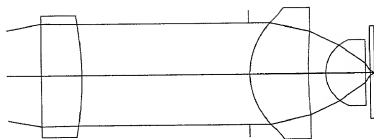


FIG. 32

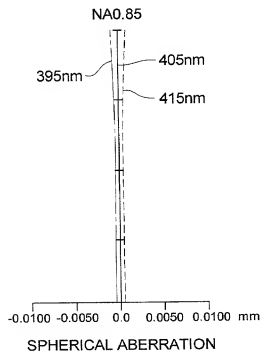


FIG. 33

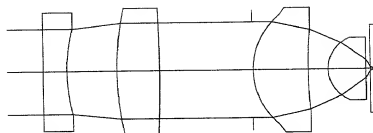


FIG. 34

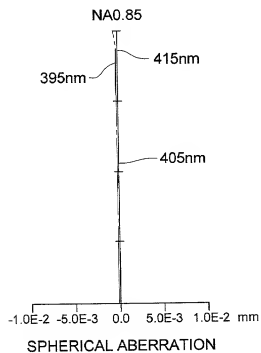


FIG. 35

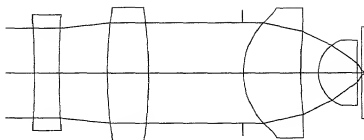


FIG. 36

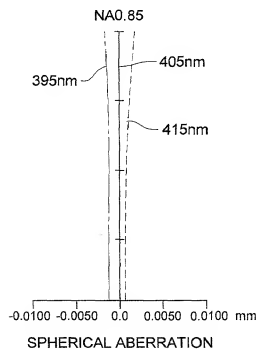


FIG. 37

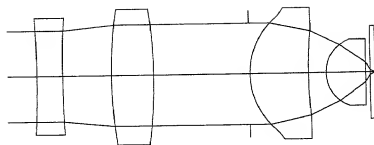


FIG. 38

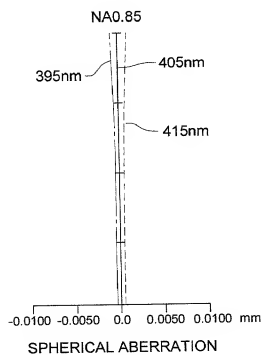


FIG. 39

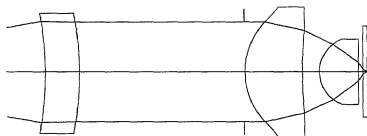


FIG. 40

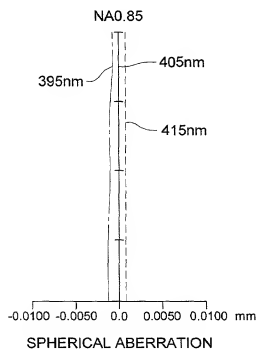


FIG. 41

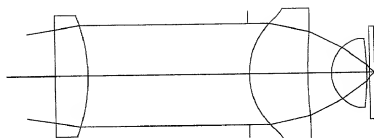
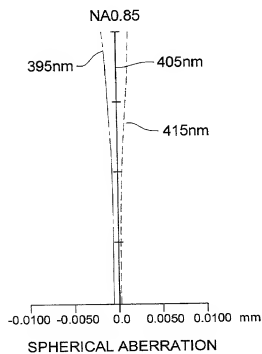


FIG. 42



09976077.101501

FIG. 43

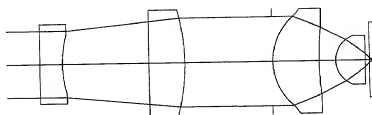
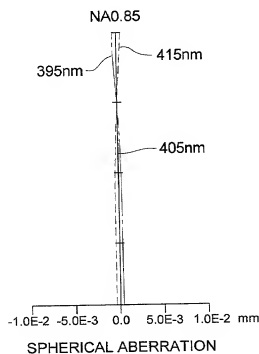


FIG. 44



09976077.101501

FIG. 45

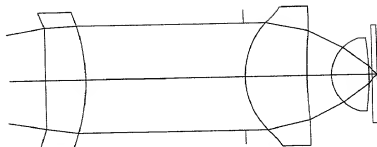


FIG. 46

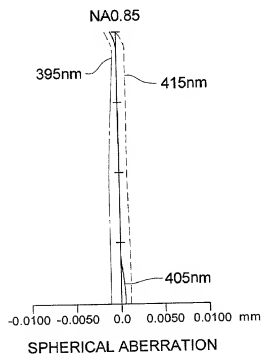
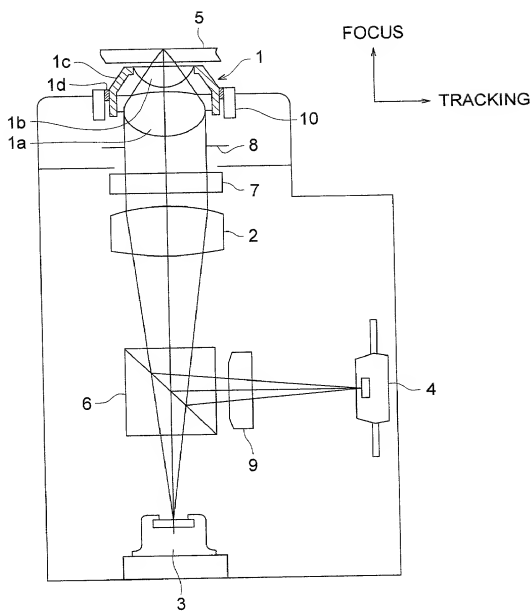
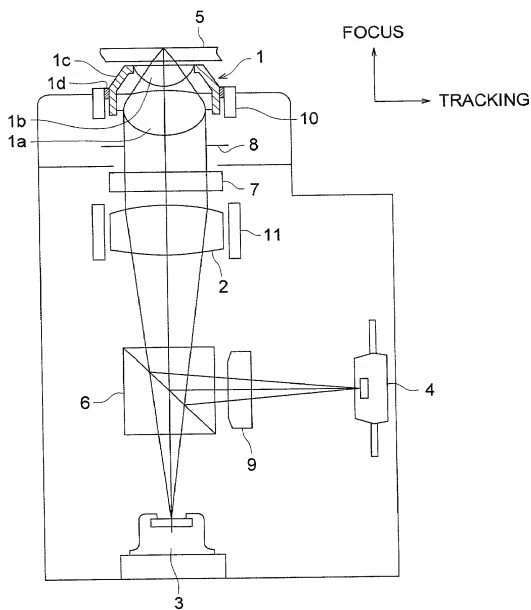


FIG. 47



09976077.101501

FIG. 48



09976077.104504

SPHERICAL ABERRATION AT TEMPERATURE CHANGE OF +30°C ($\lambda = 406.5 \text{ nm}$)

FIG. 49 (a)

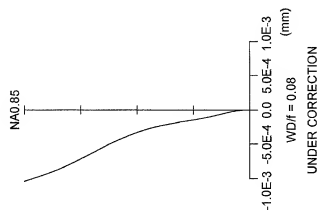


FIG. 49 (b)

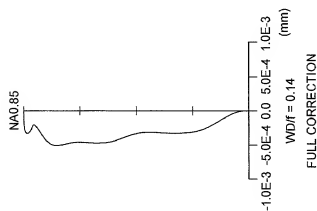
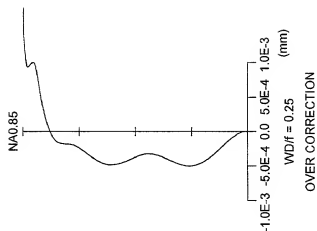


FIG. 49 (c)



WHERE, THE CHANGE OF THE WAVELENGTH OF LIGHT SOURCE AT TEMPERATURE CHANGE IS DEFINED AS +0.05 nm

FIG. 50

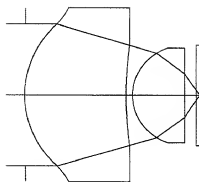


FIG. 51

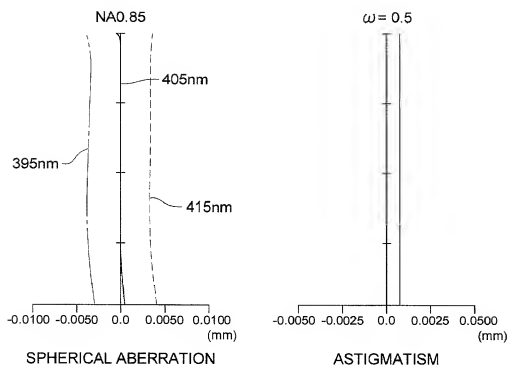


FIG. 52

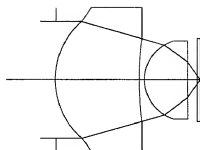


FIG. 53

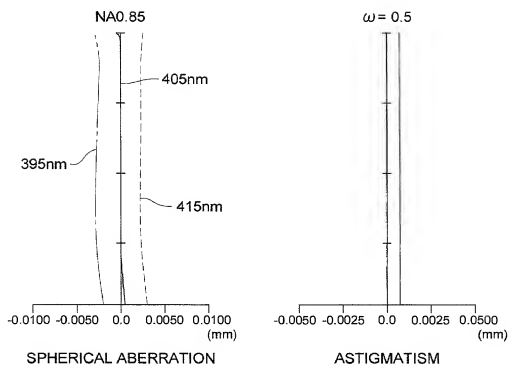


FIG. 54

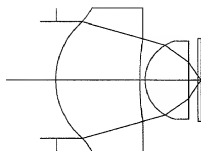


FIG. 55

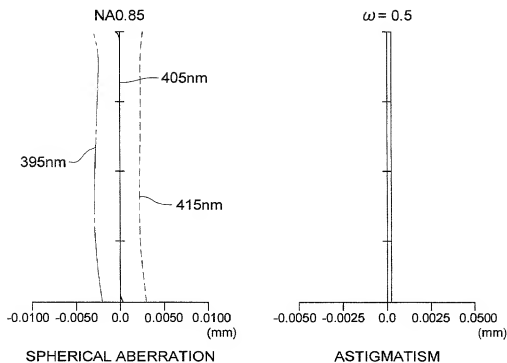


FIG. 56

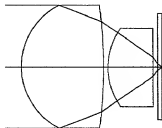
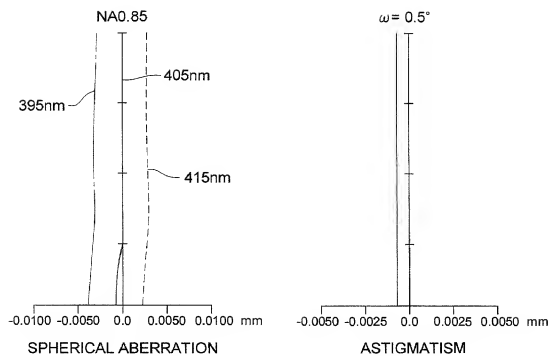
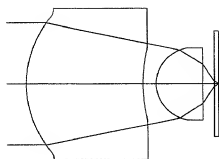


FIG. 57



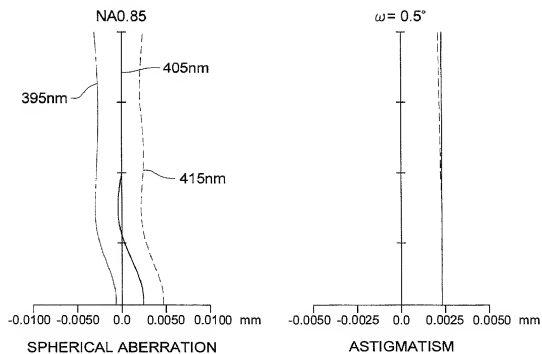
09975077.10153

FIG. 58



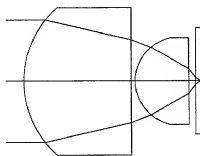
09976077.101501

FIG. 59



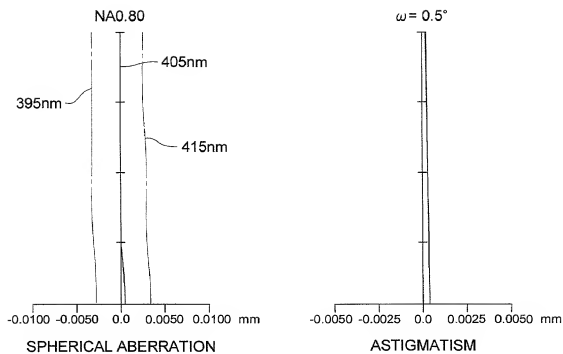
03976077.104501

FIG. 60



03975077-101501

FIG. 61



0935077.10501

FIG. 62 (a)

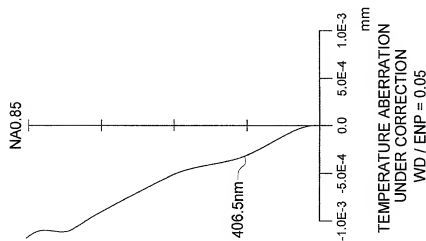


FIG. 62 (b)

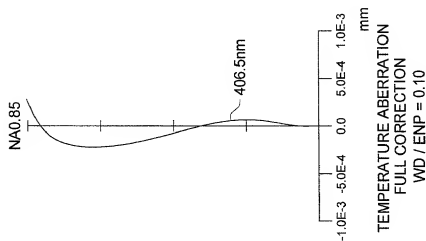


FIG. 62 (c)

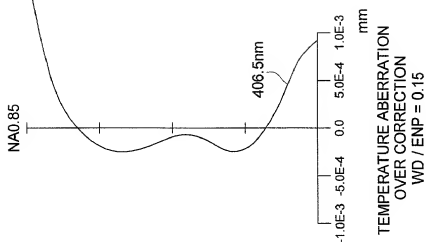


FIG. 63 (a)

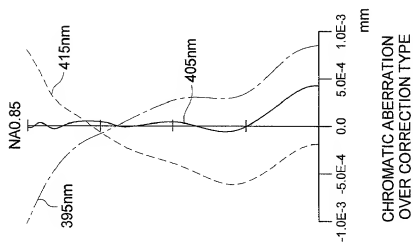


FIG. 63 (b)

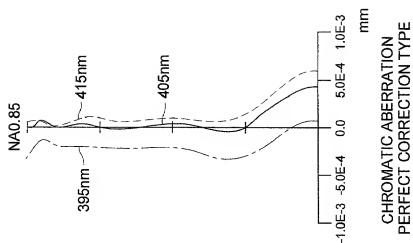
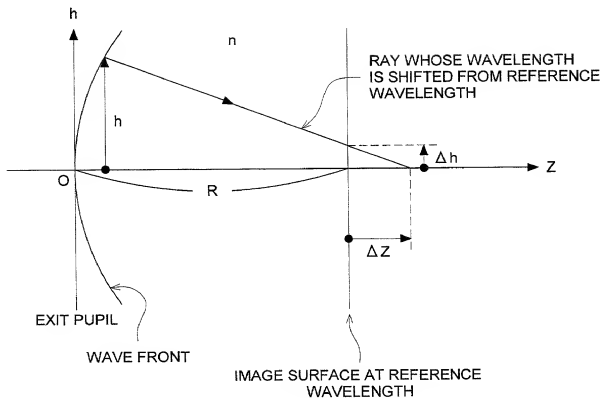


FIG. 64



0996077-104504

FIG. 65 (a)

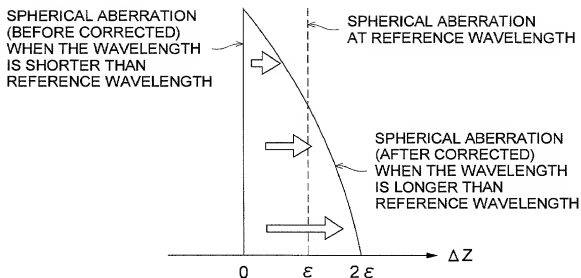
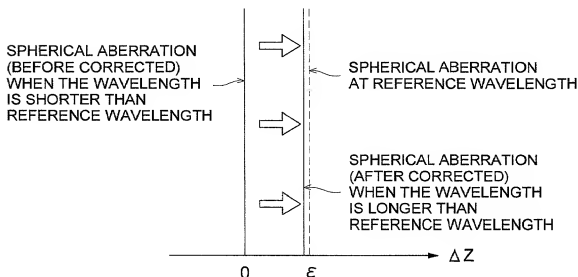
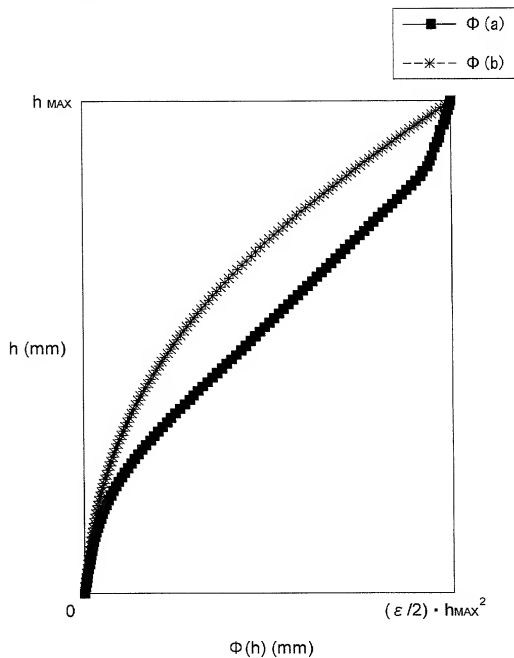


FIG. 65 (b)



09976077-101501

FIG. 66



09976077.101501

FIG. 67

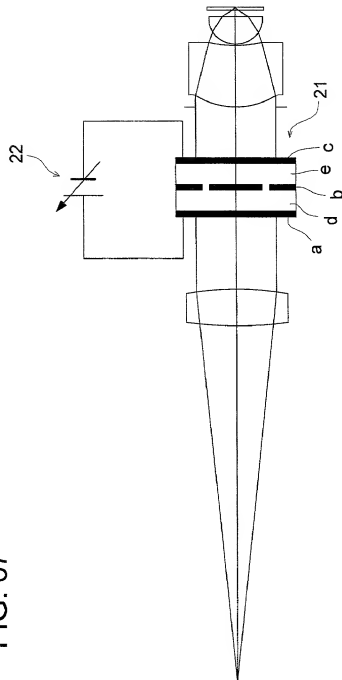


FIG. 68

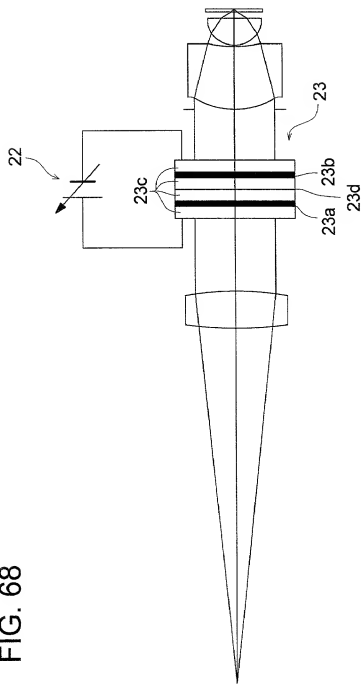
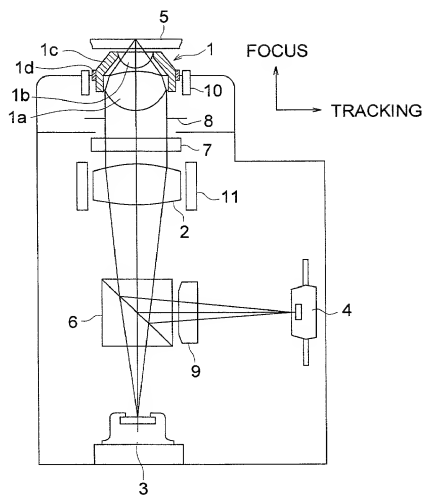


FIG. 69



09975077.104501

FIG. 70

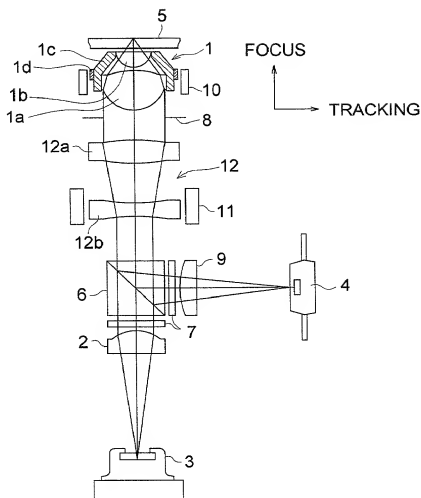


FIG. 71

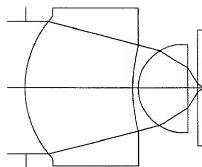


FIG. 72

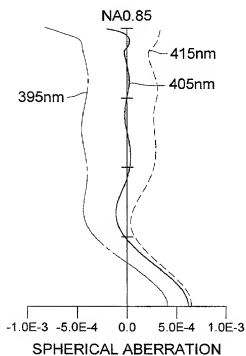


FIG. 73

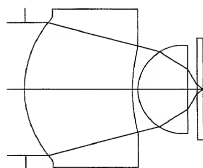


FIG. 74

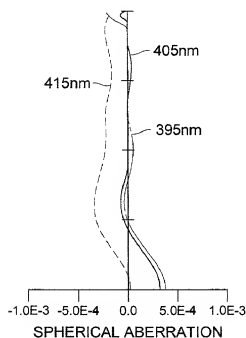


FIG. 75

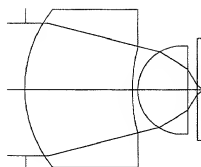


FIG. 76

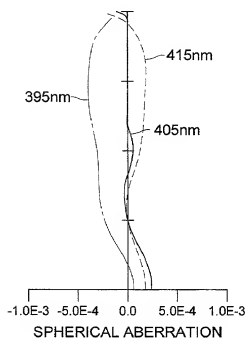


FIG. 77

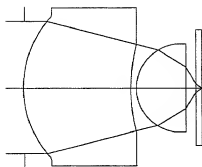


FIG. 78

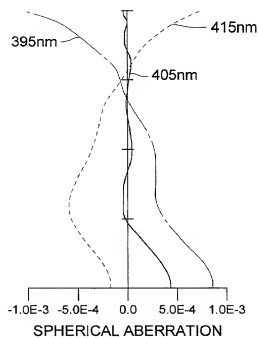


FIG. 79

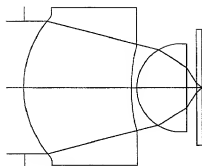


FIG. 80

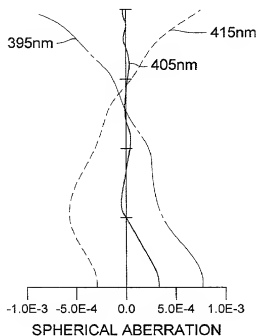
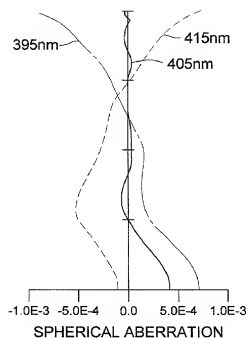


FIG. 81



FIG. 82



09976077-101501

FIG. 83

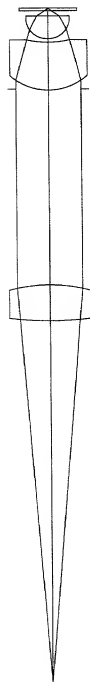


FIG. 84

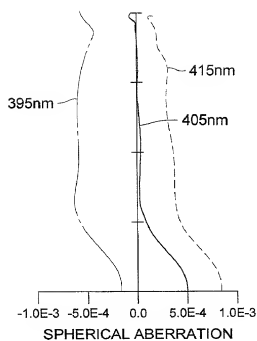


FIG. 85

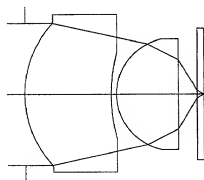


FIG. 86

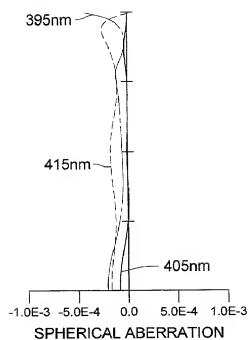


FIG. 87

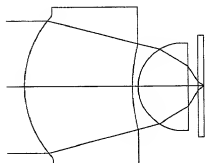
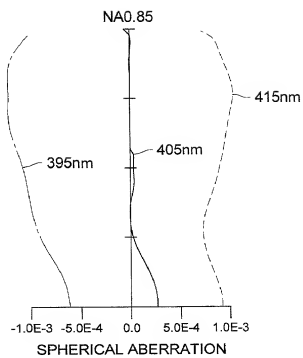


FIG. 88



00976077.101504

FIG. 89

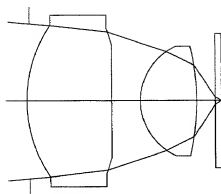


FIG. 90

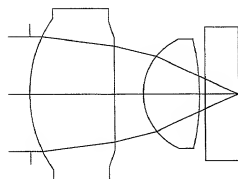
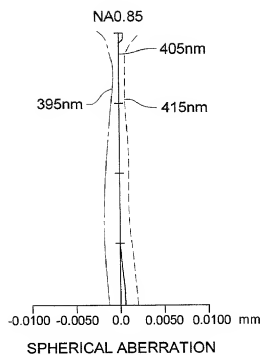


FIG. 91



09376077-103503

FIG. 92

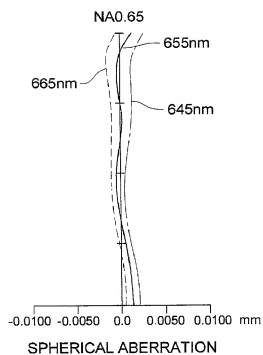


FIG. 93

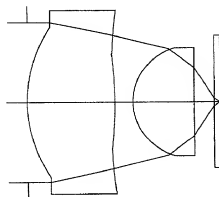


FIG. 94

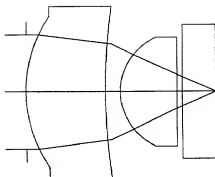


FIG. 95

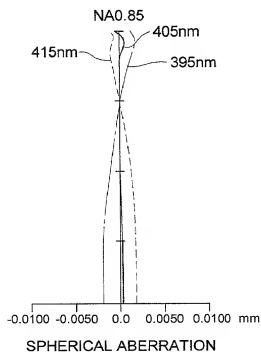


FIG. 96

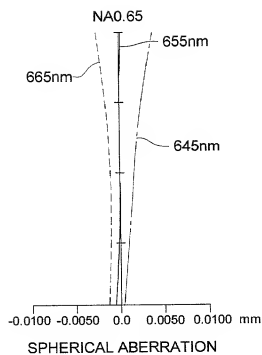


FIG. 97

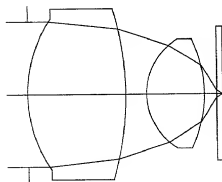


FIG. 98

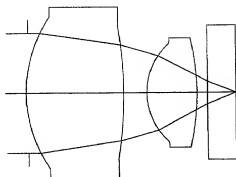


FIG. 99

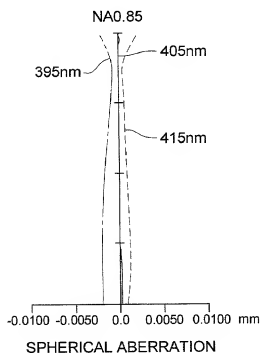


FIG. 100

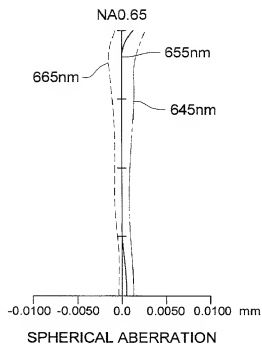


FIG. 101

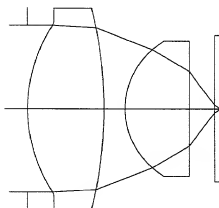


FIG. 102

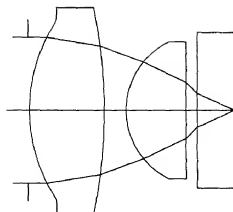


FIG. 103

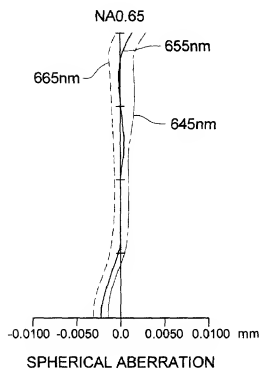


FIG. 104

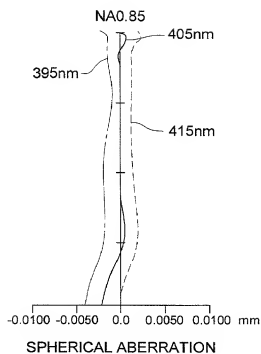


FIG. 105

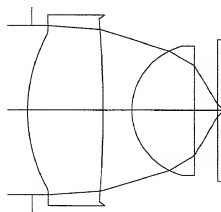


FIG. 106

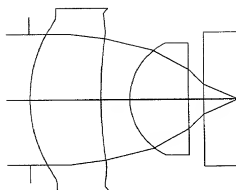


FIG. 107

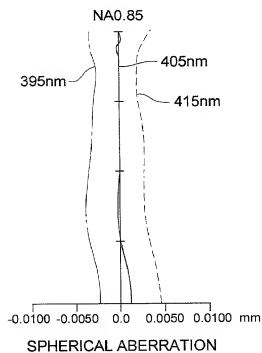


FIG. 108

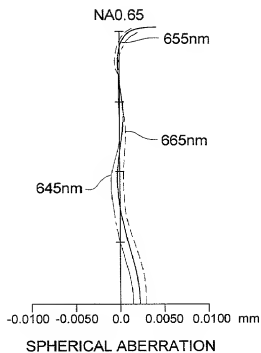


FIG. 109

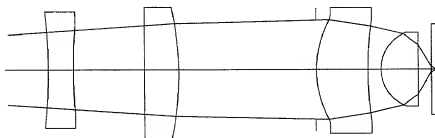


FIG. 110

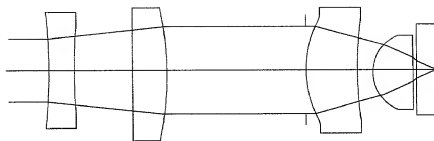


FIG. 111

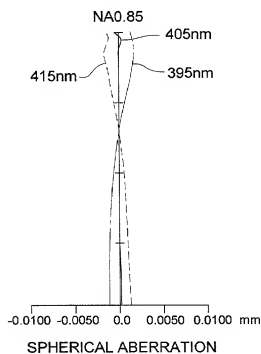


FIG. 112

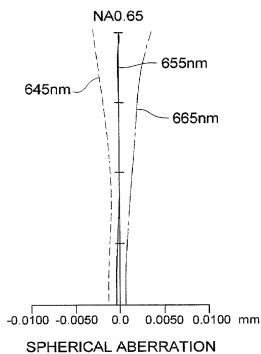


FIG. 113

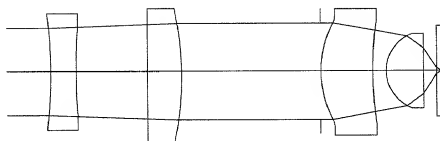


FIG. 114

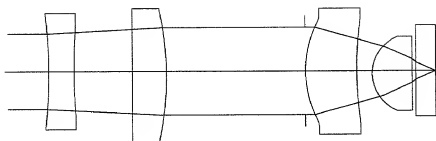


FIG. 115

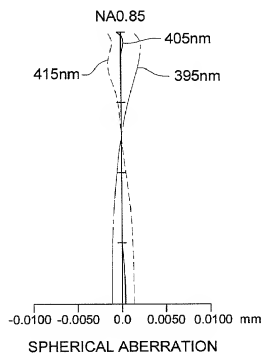


FIG. 116

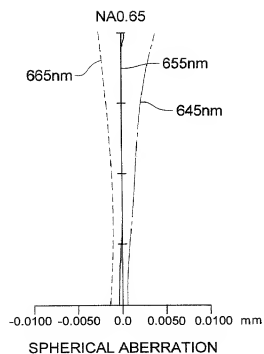


FIG. 117

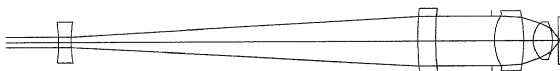


FIG. 118

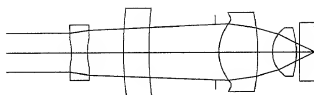


FIG. 119

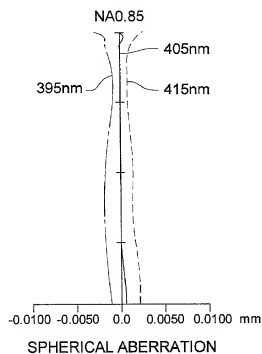


FIG. 120

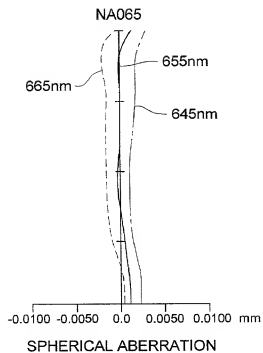


FIG. 121

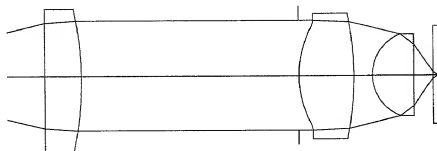


FIG. 122

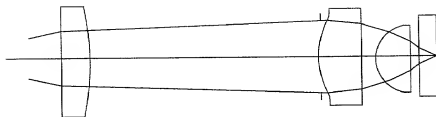


FIG. 123

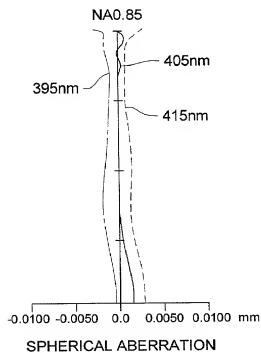


FIG. 124

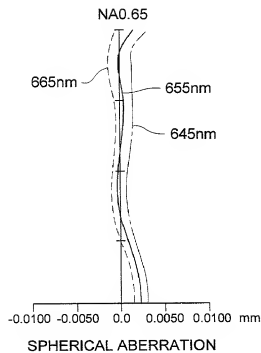


FIG. 125

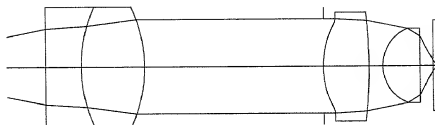


FIG. 126

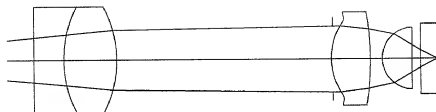


FIG. 127

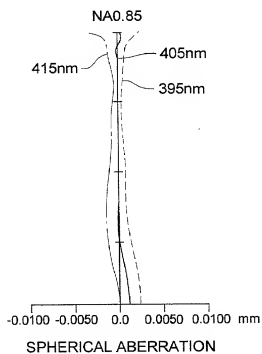
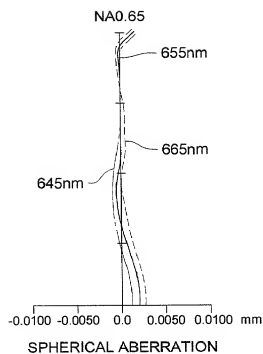
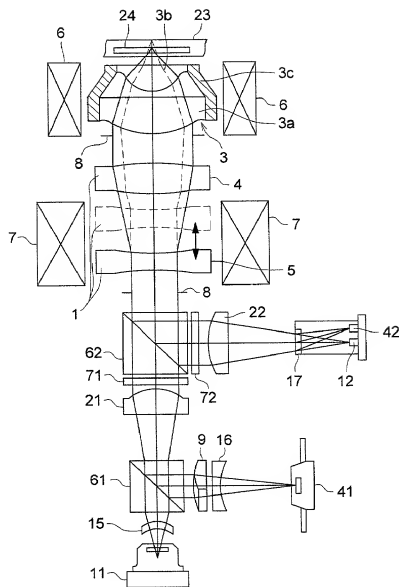


FIG. 128



09976077.104504

FIG. 129



097607-103531
10503-2/092660

FIG. 130

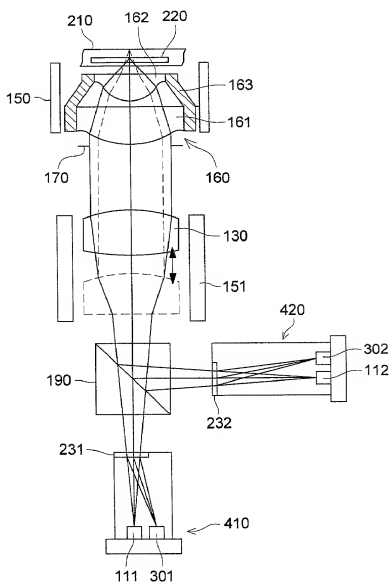


FIG. 131

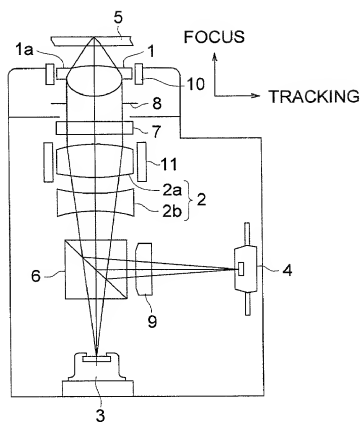
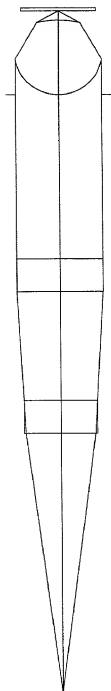
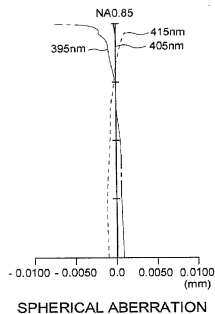


FIG. 132



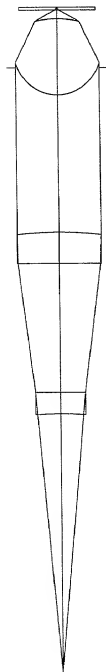
09976077.101501

FIG. 133



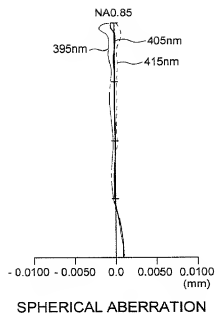
09976077-101501

FIG. 134



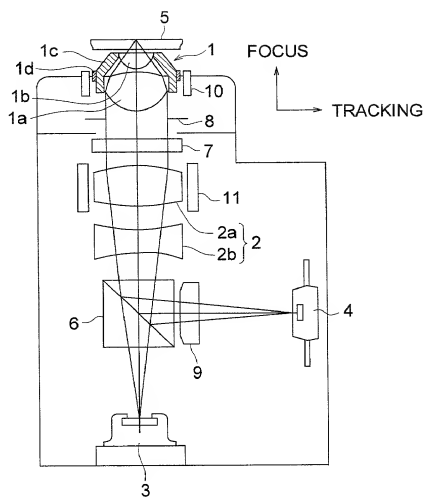
09976077-101501

FIG. 135



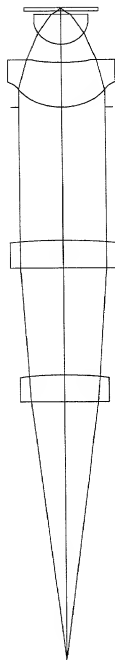
0976077.101501

FIG. 136



0976077.101501

FIG. 137



09975077-101504

FIG. 138

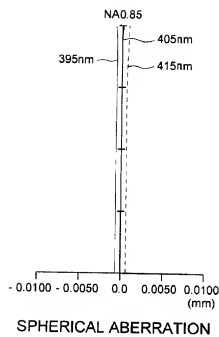
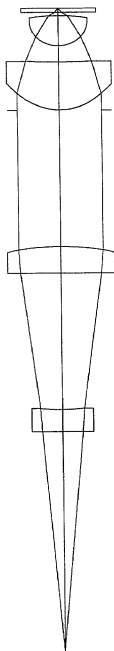
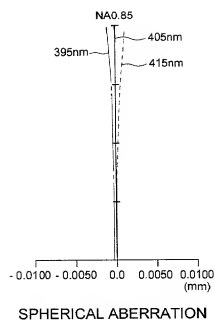


FIG. 139



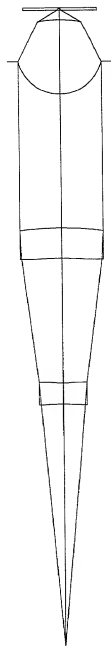
09976077.101501

FIG. 140



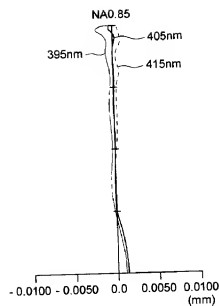
10976077.301501

FIG. 141



09975077-101501

FIG. 142



SPHERICAL ABERRATION

FIG. 143

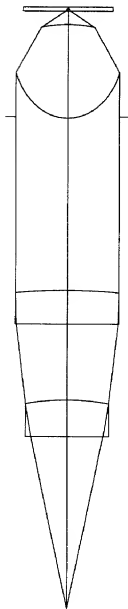
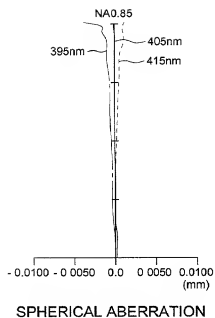


FIG. 144



0926077-101501

FIG. 145

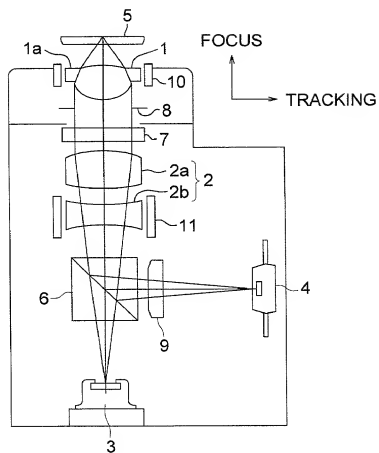
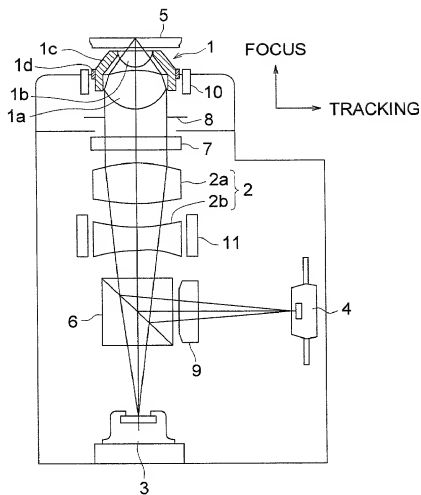


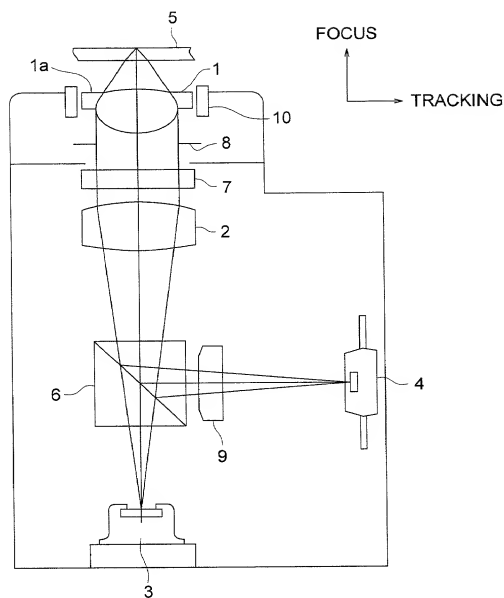
FIG. 145

FIG. 146



09975077.101501

FIG. 147



0992077-101504

FIG. 148

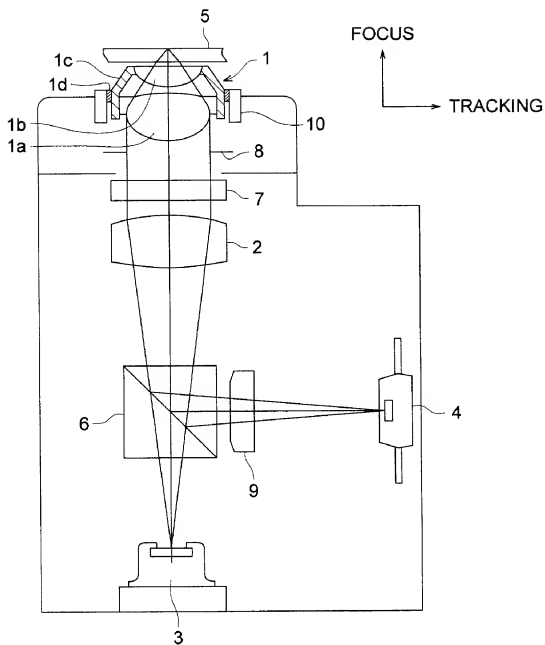


FIG. 149

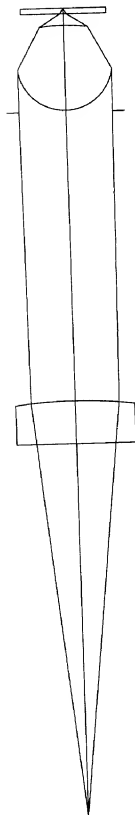
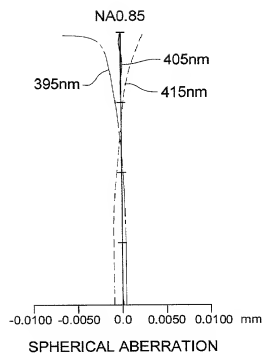
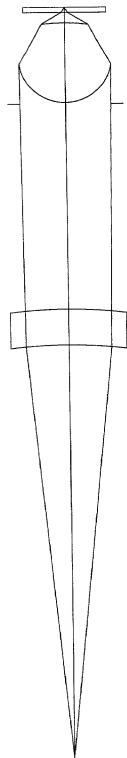


FIG. 150



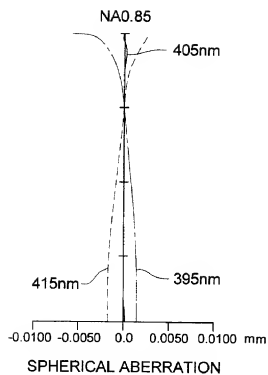
05976077.101504

FIG. 151



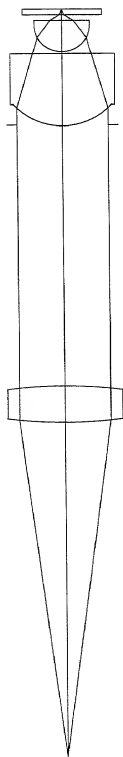
0976077-101504

FIG. 152



SCANNED. # 12

FIG. 153



09976077.101501

FIG. 154

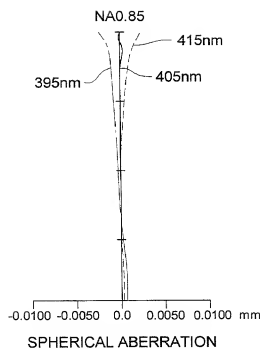


FIG. 155

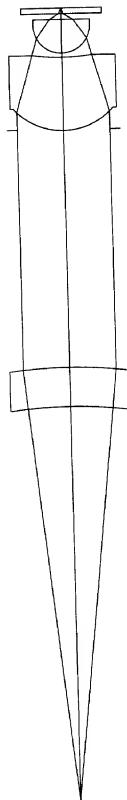
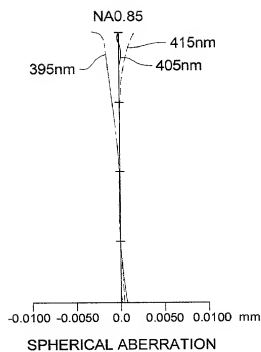


FIG. 156



09975077-101504

FIG. 157 (a)

FIG. 157 (b)

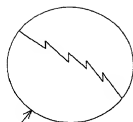
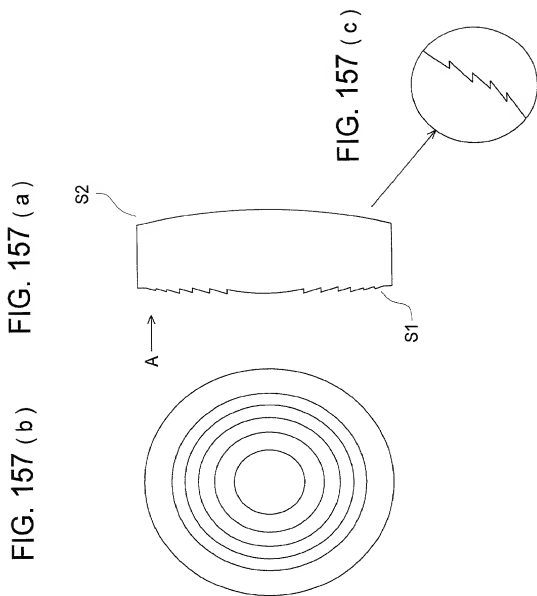


FIG. 158

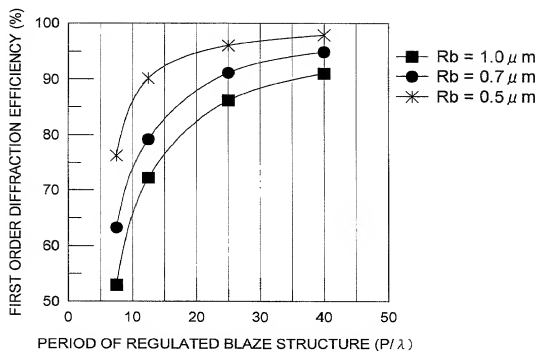


FIG. 159

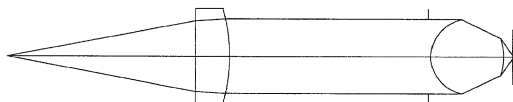


FIG. 160

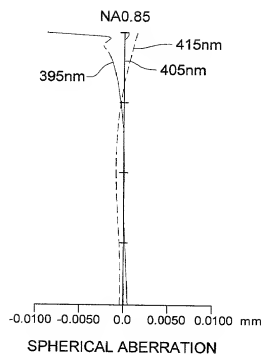


FIG. 161



FIG. 162

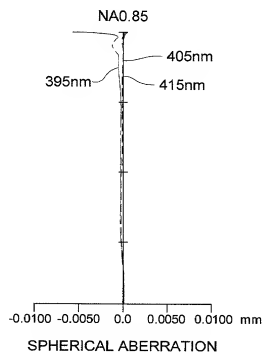


FIG. 163

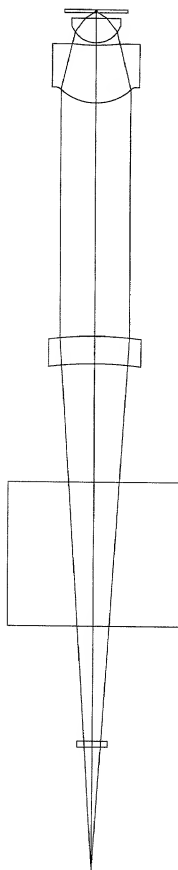


FIG. 164

